

## 7.2.1 回帰のための RVM

平成 28 年 9 月 11 日

### 概 要

PRML の「7.2.1 回帰のための RVM」についての実装と考察

### 目 次

1	問題設定	2
2	アルゴリズム	2
3	コード	3
4	結果	3
4.1	ガウスカーネル . . . . .	3
4.1.1	回帰結果 . . . . .	4
4.1.2	誤差 . . . . .	6
4.1.3	パラメータ $\alpha, \beta$ . . . . .	7
4.2	多項式カーネル . . . . .	7
4.2.1	回帰結果 . . . . .	7
4.2.2	誤差 . . . . .	10
4.2.3	パラメータ $\alpha, \beta$ . . . . .	11
5	まとめ	12

## 1 問題設定

回帰問題に RVM を適用する。メリットとしては、疎な解が得られるということである。

## 2 アルゴリズム

与えられた入力ベクトル  $\mathbf{x}$  に対する実数  $t$  の条件付分布を

$$p(t|\mathbf{x}, \mathbf{w}, \beta) = N(t|y(\mathbf{x}), \beta^{-1}) \quad (7.76)$$

とする、ただし平均は、

$$y(\mathbf{x}) = \sum_{m=1}^M w_m \phi_m(\mathbf{x}) = \mathbf{w}^T \boldsymbol{\phi}(\mathbf{x}) \quad (7.77)$$

で与える。これを  $N$  のデータ点でまとめると、

$$p(\mathbf{t}|X, \mathbf{w}, \beta) = \prod_{n=1}^N N(t_n|y(\mathbf{x}_n), \beta^{-1}) \quad (7.79)$$

となる。

次に事前分布を導入するが、ここで

$$p(\mathbf{w}|\boldsymbol{\alpha}) = \prod_{m=1}^M N(w_m|\mathbf{0}, \alpha_m^{-1}) \quad (7.80)$$

と、それぞれの要素に対して別々の精度パラメータを用意する。

線形ベイズモデルの畳込みは解析的に解けるため、重みベクトル  $\mathbf{W}$  に対する事後分布は

$$p(\mathbf{w}|\mathbf{t}, X, \boldsymbol{\alpha}, \beta) = N(\mathbf{t}|\mathbf{m}, \Sigma) \quad (7.81)$$

ここで、平均、分散は

$$\mathbf{m} = \beta \Sigma \Phi^T \mathbf{t}, \quad \Sigma = (A + \beta \Phi^T \Phi)^{-1} \quad (7.82), (7.83)$$

となる。ただし、 $\Phi$  は  $\phi_{nm} = \phi_m(\mathbf{x}_n)$ ,  $A = \text{diag}(\alpha_n)$  である。

パラメータ  $\boldsymbol{\alpha}, \beta$  はエビデンス近似によって求めることができ、

$$\alpha_i^{\text{new}} = \frac{\gamma_i}{m_i^2}, \quad \beta^{\text{new}} = \frac{N - \sum_i \gamma_i}{\|\mathbf{t} - \Phi \mathbf{m}\|^2} \quad (7.87), (7.88)$$

ただし、

$$\gamma_i = 1 - \alpha_i \Sigma_{ii}$$

であり、この再定義式を解き、収束した値を用いることで予測分布が導出でき

$$p(t|\mathbf{x}, X, \mathbf{t}, \alpha^*, \beta^*) = N(t|\mathbf{m}^T \boldsymbol{\phi}(\mathbf{x}), \sigma^2(\mathbf{x})) \quad (7.90)$$

ただし、

$$\mathbf{m} = \beta \Sigma \Phi^T \mathbf{t}, \quad \sigma^2 = (\beta^*)^{-1} + \boldsymbol{\phi}(\mathbf{x})^T \Sigma \boldsymbol{\phi}(\mathbf{x}) \quad (7.82), (7.91)$$

### 3 コード

RVM 回帰のコード (RVRpy).

```
def gaussian_basis(x,z):
    theta=0.5*M
    return np.exp(-theta*(x-z)**2)

#基底関数
P=np.zeros((N,M))
mu=[2*pi*(m+1/2)/(M-1) for m in range(M-1)]
for n in range(N):
    for m in range(M-1):
        P[n,m]=gaussian_basis(x[n],mu[m])
    P[n,M-1]=1

sig=np.zeros((N,N))
mean=np.zeros(N)
A=np.zeros((M,M))
alpha=np.ones(M)
gamma=np.zeros(M)
beta=1
frag=0
roop=0

"""パラメータ決定"""
while frag==0:
    for m in range(M):
        A[m,m]=alpha[m]
        sig=inv(A+beta*dot(P.T,P))
        mean=beta*dot(sig,dot(P.T,t))

        temp1,temp2=alpha,beta

        for m in range(M):
            gamma[m]=1-alpha[m]*sig[m,m]
            alpha[m]=min(gamma[m]/(mean[m]**2+1.7e-300),1.7e+300)
        beta=(N-np.sum(gamma))/(norm(t-dot(P,mean))**2)

        roop+=1
        if norm(temp1-alpha)<M*10**-6 and abs(temp2-beta)<10**-6 or roop>10000:
            frag=1
print("(N,M)=",N,M)
print("alpha=",alpha)

"""モデル"""
def model_f(z):
    psi=np.zeros(M)
    for m in range(M-1):
        psi[m]=gaussian_basis(z,mu[m])
    psi[M-1]=1
    return dot(mean,psi)
```

### 4 結果

#### 4.1 ガウスカーネル

カーネル関数に

$$k(\mathbf{x}_n, \mathbf{x}_m) = \exp(-\theta(x_n - \mu_m)^2)$$

を用いた。ただし、データ数は  $N = 20, 50, 100, 200$ ,  $M = 5, 10, 30, 50$  とし  $\theta = 0.5M$  を用いた。

### 4.1.1 回帰結果

図 1:  $M = 5, N = 20, 50, 100, 200$

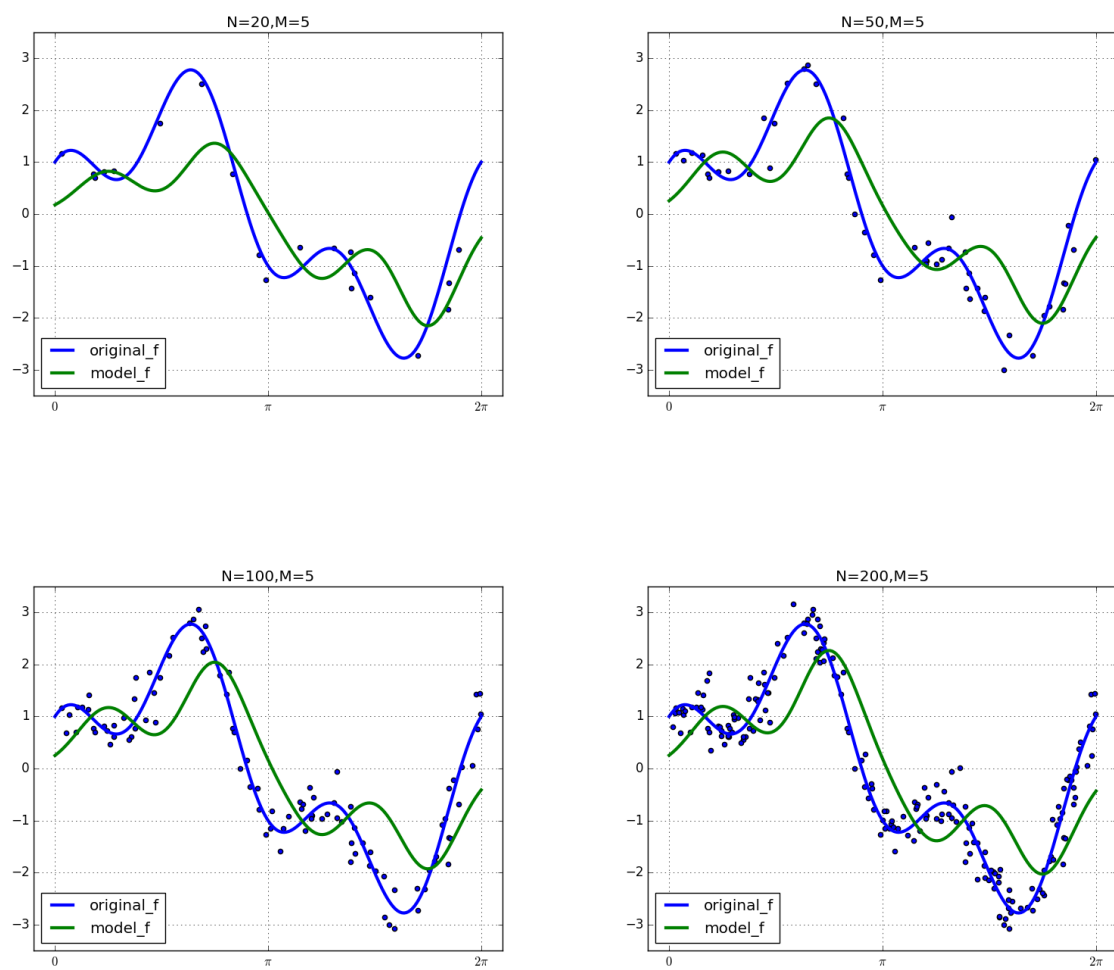
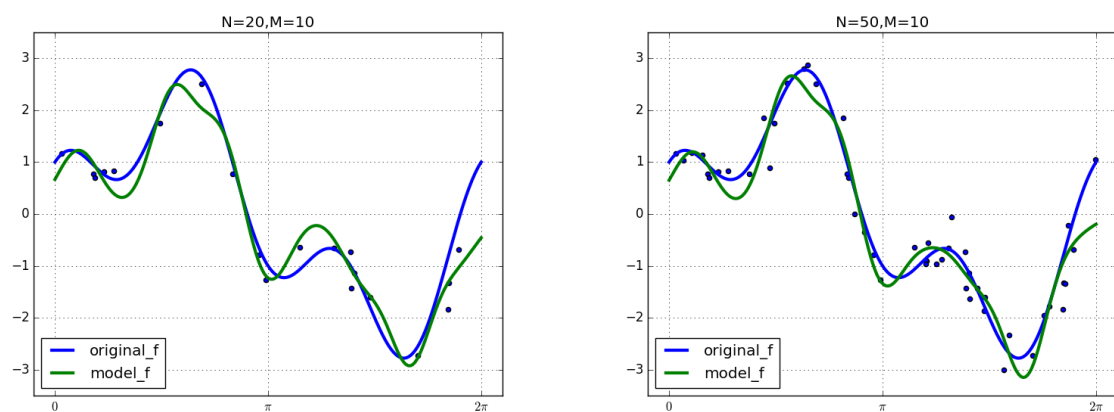


図 2:  $M = 10, N = 20, 50, 100, 200$



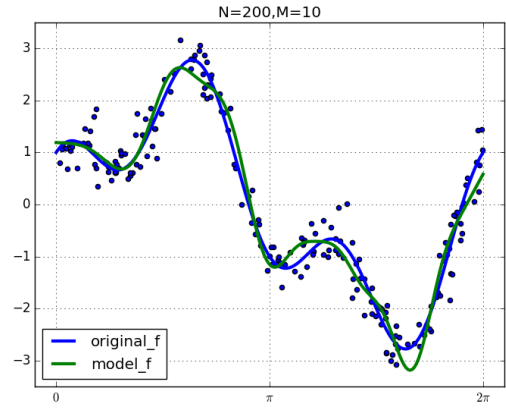
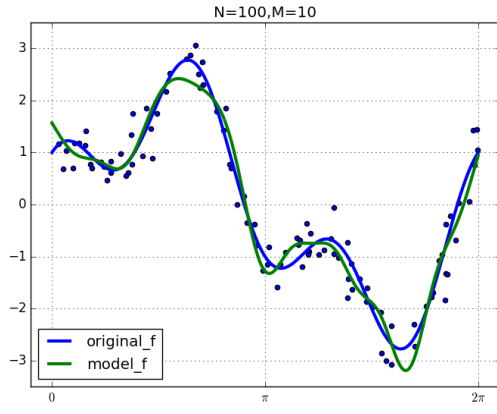


图 3:  $M = 30, N = 20, 50, 100, 200$

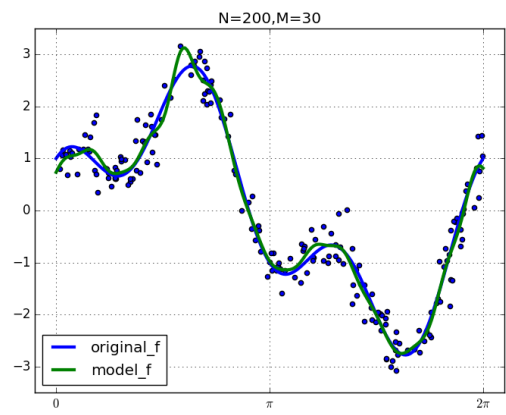
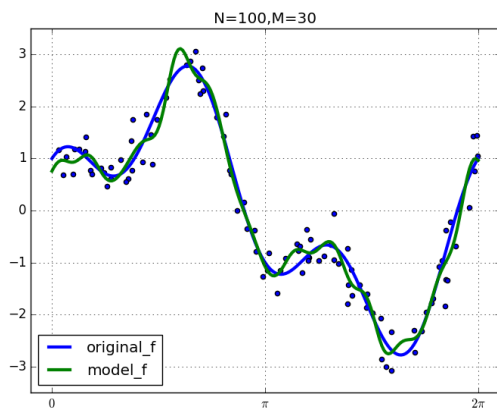
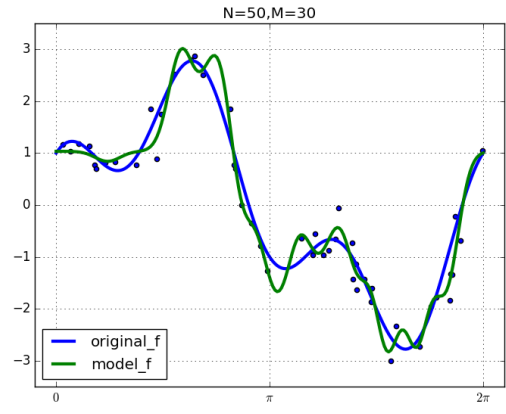
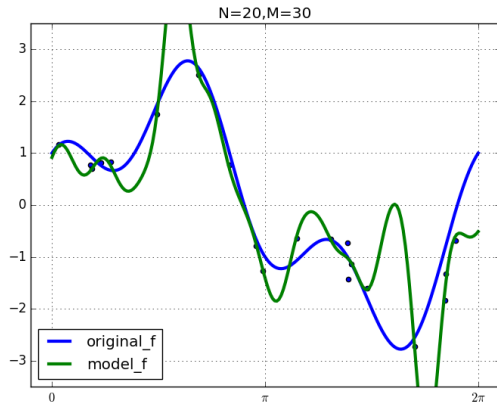
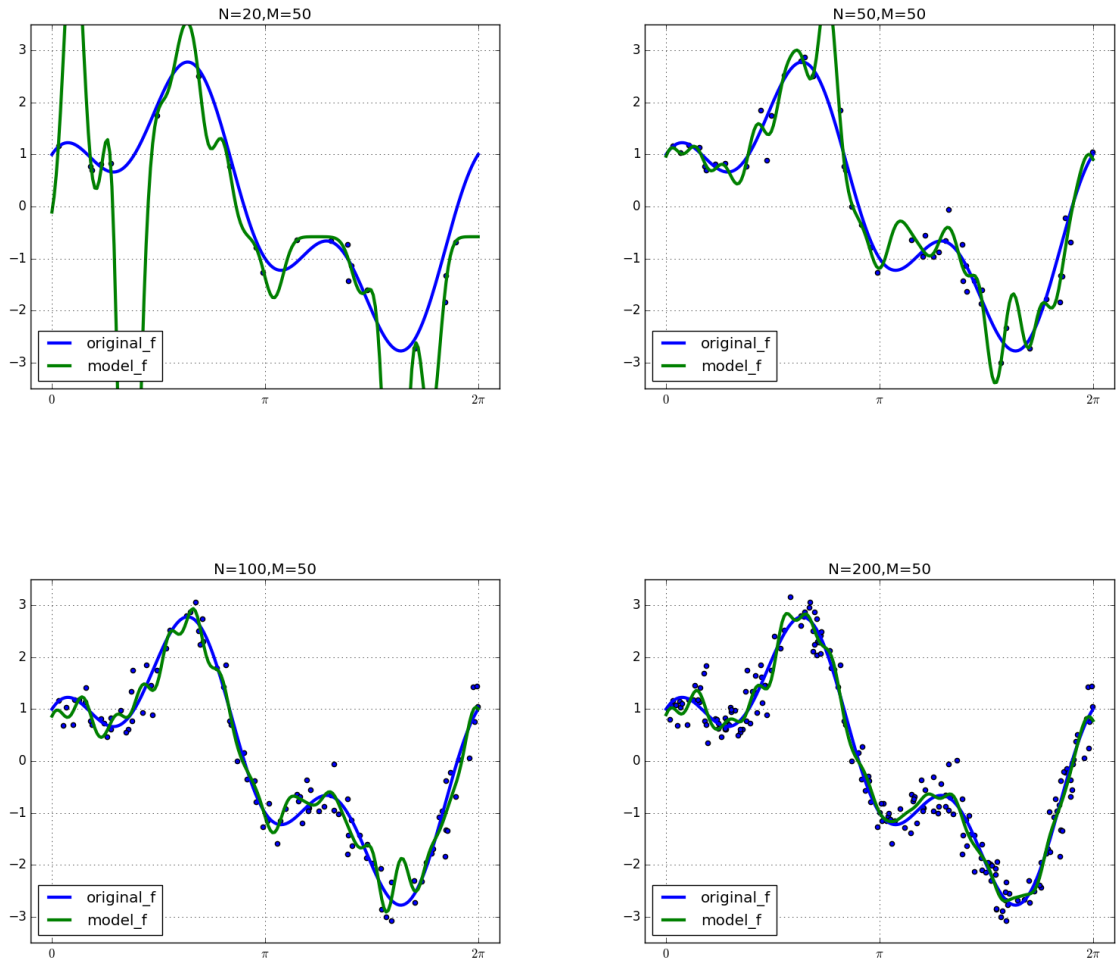


図 4:  $M = 50, N = 20, 50, 100, 200$



M が小さいときなんかずれてる, M が大きいときうまくいっている. N が小さすぎるとき過学習気味になるが, そんなにひどくない

#### 4.1.2 誤差

M \ N	N			
	20	50	100	200
5	0.90	0.90	0.92	0.92
10	0.47	0.39	0.36	0.36
30	0.96	0.36	0.29	0.28
50	2.58	0.60	0.34	0.30

表 1:  $E_{RMS}$  の  $N, M$  との関係 (ガウスクーネル)

### 4.1.3 パラメータ $\alpha, \beta$

$N = 200, M = 50$  のとき

alpha=

```
[ 1.03210215e+000  1.49000585e+002  1.47141069e+006  6.02614368e-001
 6.30596754e+004  1.25255259e+001  3.47664951e+012  1.85085088e+000
 4.30126648e+013  1.43348897e+008  5.26437717e-001  1.21340818e+014
 1.11325811e+006  1.65818835e-001  4.20639228e+001  6.87016589e-001
 3.54036047e-001  8.39562665e+002  5.79081271e-001  1.43347370e+000
 8.19627571e+011  1.34144803e+016  2.34625329e+011  0.00000000e+000
 1.48959166e+000  9.58470740e+001  1.29329993e+000  7.24692239e+010
 2.28664362e+000  2.09542540e+001  1.42045065e+008  2.26085804e+000
 1.04702641e+015  8.01543522e+016  9.58098158e-001  1.42506329e+001
 6.63228094e-001  5.05697092e+005  2.33233107e-001  1.38992358e+020
 2.91174331e-001  0.00000000e+000  2.64324376e-001  4.59027935e+007
 2.35069550e+000  8.74889763e+000  1.18464149e+008  4.06789084e+007
 1.31046021e+000  1.07236401e+173]
```

beta= 9.93096269807

となった.

$\alpha$  は絶対値が非常に大きくなる要素がいくつかある. RVM が効力を発揮している.

$\beta$  は元データの精度 (分散の逆数)  $1/0.3^2 \neq 11$  程度になっていて正しいように思う.

## 4.2 多項式カーネル

カーネル関数に

$$k(\mathbf{x}_n, \mathbf{x}_m) = (x_n \mu_m + 1)^\theta$$

を用いた. ただし, データ数は  $N = 50, 100$   $M = 10, 30$  とし  $\theta = 2, 3, 7$  を用いた.

### 4.2.1 回帰結果

あまり面白い結果にならなかったのので, 一部のみ記す.

$\theta = 2$  のとき

図 5:  $M = 10, N = 50, 100$

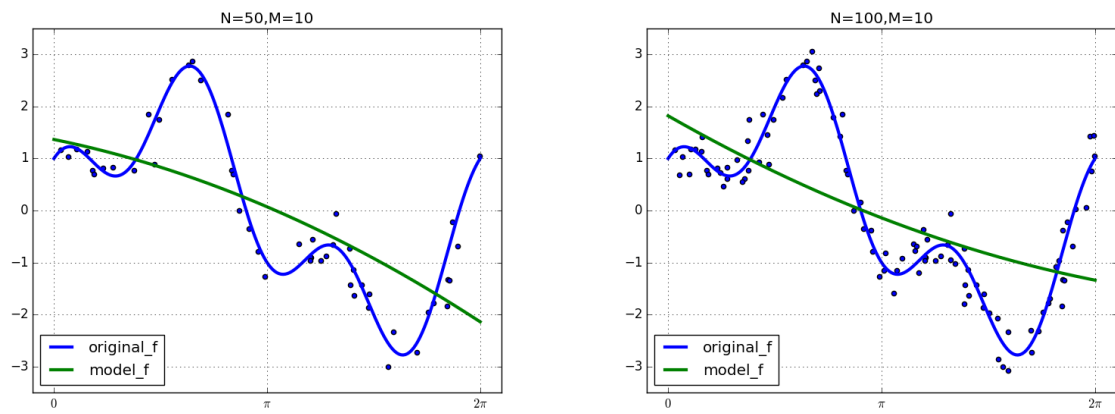
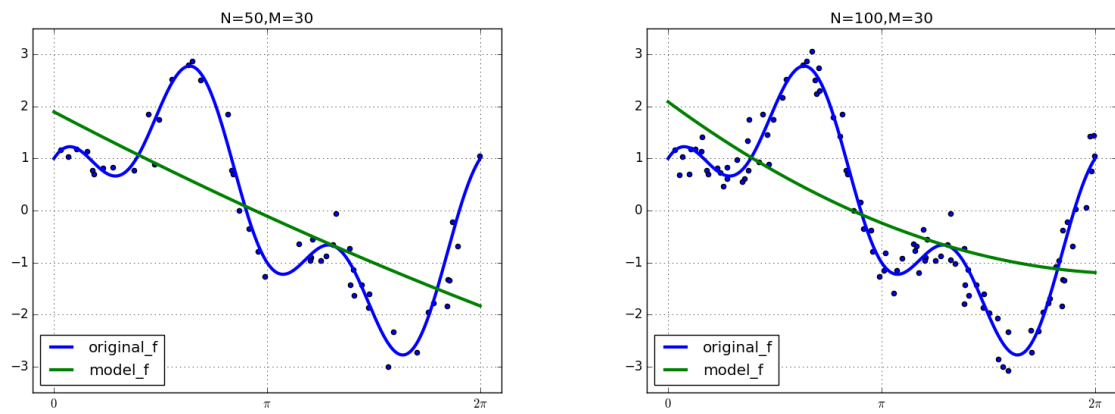


図 6:  $M = 30, N = 50, 100$



カーネルに依存し 2 次関数となり, 回帰としては不十分.

$\theta = 3$  のとき



図 7:  $M = 10, N = 50, 100$

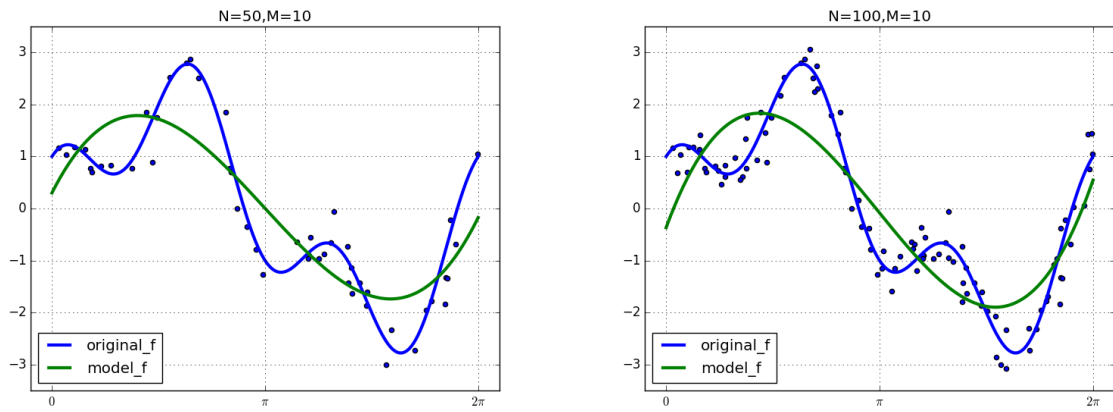
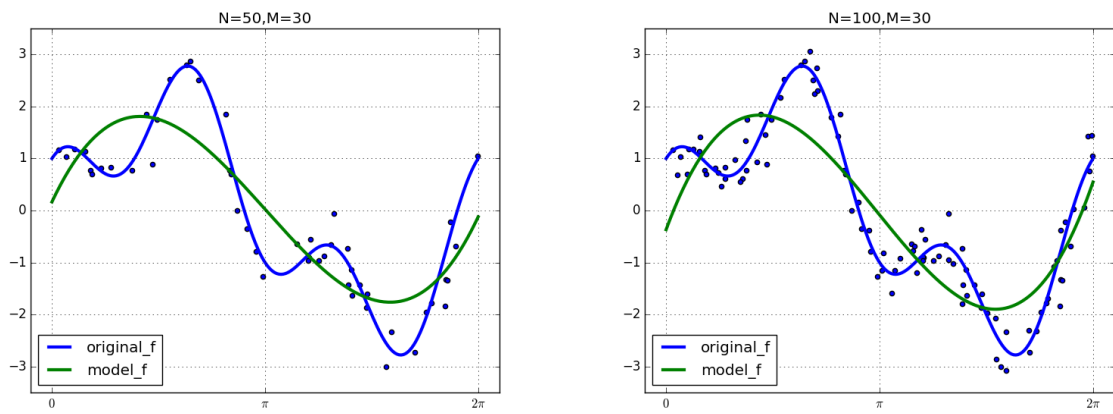


図 8:  $M = 30, N = 50, 100$



カーネルに依存し 3 次関数となり, 回帰としては不十分.

$\theta = 7$  のとき

図 9:  $M = 10, N = 50, 100$

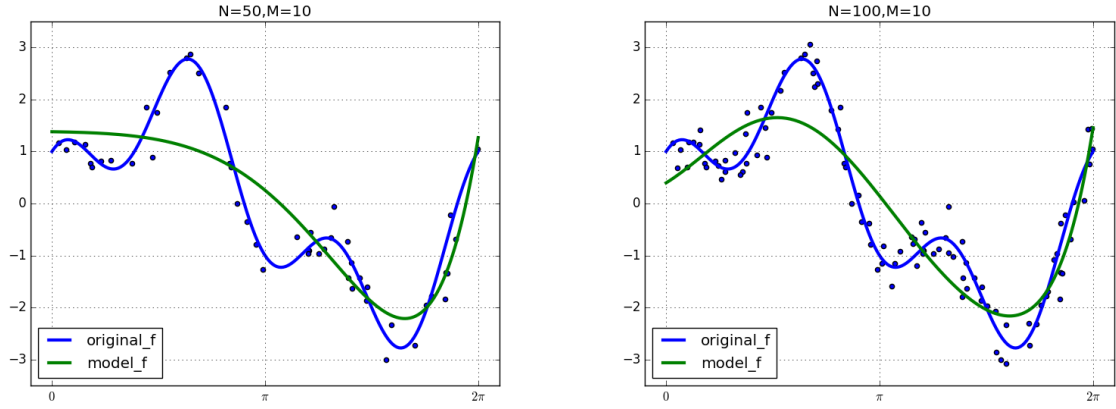
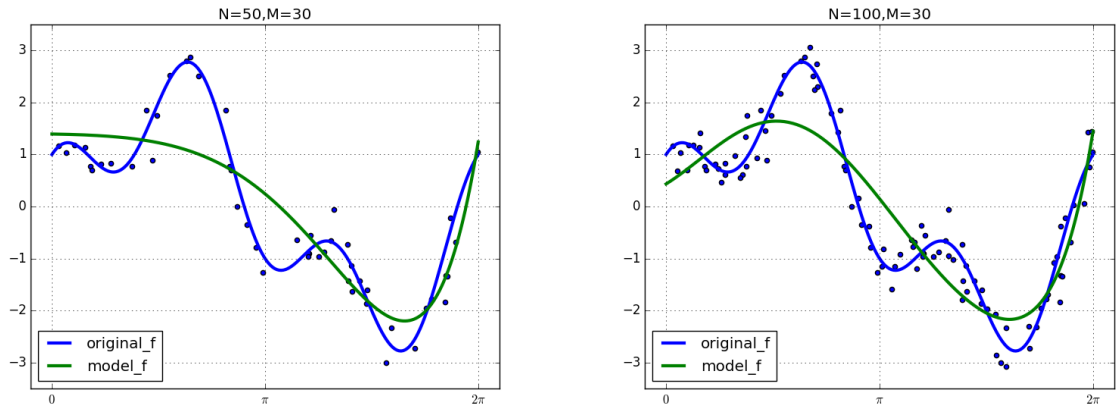


図 10:  $M = 30, N = 50, 100$



山, 谷が6つなので, 7次関数で精度よく回帰できると考えたが, 多項式カーネルは絶対値が大きい領域での回帰を優先するため, 絶対値の小さい領域では回帰に失敗している。

#### 4.2.2 誤差

M \ N	20	50	100	200
5	1.17	1.18	1.21	1.19
10	1.17	1.68	1.21	1.19
30	1.15	1.15	1.21	1.19
50	960	4.27	1.53	1.19

表 2:  $E_{RMS}$  の  $N, M$  との関係 (多項式カーネル,  $\theta = 2$ )

M \ N	20	50	100	200
5	0.98	0.80	0.79	0.78
10	1.02	0.80	0.79	0.78
30	0.95	0.79	0.79	0.78
50	0.86	0.78	0.79	0.78

表 3:  $E_{RMS}$  の  $N, M$  との関係 (多項式カーネル,  $\theta = 3$ )

M \ N	20	50	100	200
5	0.81	0.77	0.76	0.73
10	0.83	0.76	0.69	0.69
30	0.84	0.76	0.69	0.70
50	0.84	0.74	0.69	0.89

表 4:  $E_{RMS}$  の  $N, M$  との関係 (多項式カーネル,  $\theta = 7$ )

カーネル関数の選び方で汎化性能に限界がある。

#### 4.2.3 パラメータ $\alpha$ , $\beta$

$N = 200, M = 50, \theta = 7$  のとき

alpha=

```
[ 1.18574425e-003  1.04139538e+001  3.31047546e-002  1.77882807e-001
-3.47046296e+002 -4.61559521e+002  1.34322299e+000  2.79414730e+001
-1.86062844e+010 -1.54567781e+003 -5.14047608e+002  3.10796253e+001
 1.04442733e+002  4.19904323e+009  8.05665954e+010 -2.31815061e+015
-1.35174881e+011 -8.32538438e+014 -5.46911535e+015  9.69192473e+008
 1.69798816e+285  2.41211252e+010  6.40257997e+007 -3.78405631e+005
-1.37882658e+013  4.17044230e+020 -2.33728519e+013 -9.73764337e+009
-8.57214679e+011  1.03035660e+013 -3.35679197e+286  6.23052007e+008
 1.40643411e+021  1.12679081e+023  8.93861844e+007 -1.81746855e+019
-1.13981069e+013 -1.74536866e+018 -5.66009253e+018  2.52728947e+015
-8.56284273e+017 -1.85211323e+287  1.78936718e+017  6.42057977e+015
 7.43593241e+013  9.49429315e+017 -1.21732689e+287  1.78638340e+010
-1.00451932e+014  1.60723899e-003]
```

beta= 1.08546893411

となった。

ガウスカーネルのとき同様,  $\alpha$  は絶対値が非常に大きくなる要素がいくつかある。RVM が効力を発揮している。

$\beta$  は元データの精度 (分散の逆数)  $1/0.3^2 \neq 11$  より小さくなっていて, つまり分散が大きくなっていて, 回帰は失敗していると考えられる。

## 5 まとめ

$\alpha$  の一部の要素が非常に大きくなることが確かめられた, RVM のこの性質は疎な解を得るのにつながっている.